

ДЛИНЫ ВОЛН И ЭНЕРГИИ УРОВНЕЙ ДИЭЛЕКТРОННЫХ
САТЕЛЛИТОВ ЛИНИЙ ГЛАВНОЙ СЕРИИ ГЕЛИЕПОДОБНЫХ
ИОНОВ

Л. А. Вайнштейн, М. А. Мазинг, А. П. Шевелько

УДК 535.338.3 + 539.184

Экспериментально изучена энергетическая структура диэлектронных сателлитов линий главной серии гелиеподобных ионов кальция и титана. Сопоставление с теоретическими данными показывает, что сравнительно простой экстраполяционный метод расчета дает структуру спектра, хорошо согласующуюся с экспериментом.

В рентгеновских спектрах гелиеподобных ионов, возбуждаемых в высокотемпературной плазме, наиболее интенсивным является резонансный переход $1s^2 - 1s2p$ с прилегающей к нему группой линий — так называемых диэлектронных сателлитов, соответствующих радиационному распаду автоионизационных состояний $1s2l'nl$ с переходом "внутреннего" ($2l'$) электрона: $1s^2nl - 1s2l'nl$. Радиационный распад состояний $1s2l'nl$ с переходом "внешнего" (nl) электрона $1s^22l' - 1s2l'nl$ приводит к появлению сателлитов у линий главной серии гелиеподобного иона $1s^2 - 1snp$. В лазерной плазме линии главной серии наблюдались в гелиеподобных ионах с зарядом ядра до $Z_N = 17 / i$. Сателлитная структура таких спектров мало изучена.

Мы измерили длины волн и исследовали интенсивности линий главной серии и сопутствующих им сателлитов для гелиеподобных ионов лазерной плазмы кальция и титана ($Z_N = 20, 22$). Первые результаты были представлены в /2/. В настоящей работе приводятся результаты измерений и сопоставление с расчетными данными длин волн линий. В эксперименте наблюдались линии главной серии до $n = 8$ в ионах Ca_{XIX} и Ti_{XXI} . Вблизи линий

наблюдались группы спутников $1s^2 2l^m - 1s 2l^m n l$, отчетливо различимые до $n = 5$. (В дальнейшем для краткости под [He]-ионом будем понимать гелиеподобный ион; к опорной линии и соответствующим спутникам будем относить переходы с одним и тем же квантовым числом n .)

Для создания плазмы использовался лазер на неодимовом стекле с энергией импульса 25 – 30 Дж и длительностью 5 нс. Излучение лазера фокусировалось на плоскую мишень линзой $f/6$ в пятно диаметром 25 – 30 мкм /3/.

Все спектры были получены за одну вспышку лазера при помощи спектрографа, выполненного по схеме Гамаша /4/ (радиус изгиба кристалла слюды 20 мм, регистрация на фотопленку УФ-ВР /5/). Область перехода с $n = 2$ приходилось ослаблять в 20–30 раз по интенсивности, чтобы плотность почернения на фотопленке в этом участке спектра не превышала 2 – 2,5.

Таблица I.

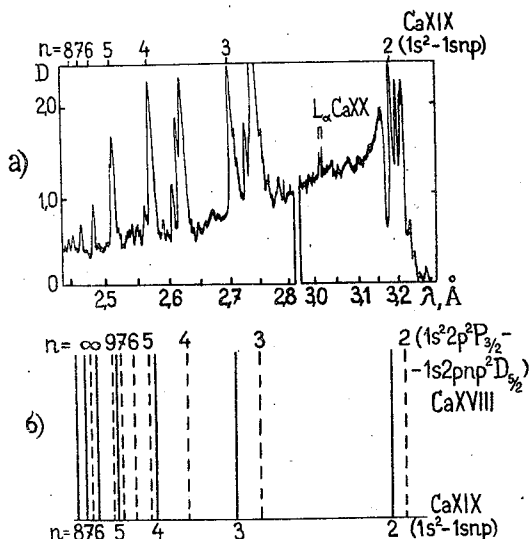
Длины волн (в Å) линий главной серии $1s^2 - 1snp$ [He]-ионов СаХІХ и ТіХХІ (точность измерений $\lambda \pm 0,001 \text{ Å}$).

СаХІХ			ТіХХІ		
n	измерение	расчет	n	измерение	расчет
2	3,1764 *	3,1764 *	2	2,6097 *	2,6097 *
3	2,7048 *	2,7048 *	3	2,2208 *	2,2208 *
4	2,571	2,5709	4	2,111	2,1105
5	2,514	2,5133	5	2,064	2,0630
6	2,484	2,4830	6	2,038	2,0381
7	2,466	2,4652	7	2,024	2,0234
8	2,455	2,4537	8	2,014	2,0139

* Длины волн, использованные в качестве реперов.

Результаты определения длин волн линий [He]-иона при $n = 4 - 8$ приведены в табл. I. В качестве реперов использовались линии [He]-иона при $n = 2$ и 3 (расчетные данные для длин волн приведены в /6/).

Одновременно были проведены теоретические расчеты длин волн и вероятностей радиационного (A) и автоионизационного (Г) распадов для опорных линий и сателлитов ионов CaXIX и TiXXI. Расчет проводился методом теории возмущений по I/Z /6/. Коэффициенты разложения матрицы энергии по степеням I/Z были рассчитаны для состояний с $n = 3$. Для $n > 3$ использовались асимптотические формулы с сохранением членов вида C_2/n^2 и C_3/n^3 . При этом параметры C_3 определялись путем приравливания асимптотического выражения при $n = 3$ известному значению соответствующего коэффициента разложения. Полученное таким об-



Р и с. I. а) Денситограмма спектра CaXIX - CaXVIII. Область перехода $n = 2$ ослаблена в 20 раз. б) Теоретически рассчитанный спектр CaXIX - CaXVIII. Сплошными линиями показано положение линий главной серии [He]-иона CaXIX, пунктирными - положение наиболее интенсивных сателлитов к линиям с главным квантовым числом n (Ca XVIII)

разом значение C_3 отличается от точного асимптотического. Однако такая процедура позволяет надеяться на частичную компенсацию погрешности асимптотической формулы при $n = 4 - 5$, а при больших n вклад членов $\sim 1/n^3$ мал. Более подробно метод изложен в /7/, где приведены также результаты расчетов для [Н]- и [Не]-ионов магния и железа.

Интенсивности опорных линий с ростом n убывают приблизительно как $1/n^3$ ввиду соответствующего уменьшения сечения возбуждения. Можно показать, что интенсивность сателлитов меняется по тому же закону, если конкурирующий переход $2l^{\circ}$ -электрона запрещен каким-либо правилом отбора.

На рис. 1а приведена денситограмма спектра СаXVIII - СаXIX. При $n \geq 3$ наиболее интенсивные сателлиты образуют узкую группу, четко отделенную от опорной линии. Это связано с тем, что при переходе $n1 - 1s$ меняется скачком экранировка оптического электрона $2l^{\circ}$ -электроном. Это обстоятельство позволяет использовать для диагностики плазмы спектральные приборы умеренного разрешения, что особенно важно для астрофизических приложений. Из рис. 1а видно, что с ростом n расстояние сателлитов от опорной линии медленно растет, а их интенсивность остается сравнимой с интенсивностью опорной линии. На рис. 1б показано расчетное положение наиболее интенсивных линий. При $n \geq 6$ сателлиты попадают в область "чужих" опорных линий, а область между линиями [Не]-ионов с $n = 6$ и 7 соответствует предельному положению сателлитных линий при $n \rightarrow \infty$. Заметим, что в спектре Са при $n = 5$ длина волны наиболее сильного сателлита в пределах ширины линии совпадает с длиной волны опорной линии с $n = 4$. В спектре титана эти линии четко разделены.

Мы измерили расстояния в частотах $\Delta\nu$ от опорных линий [Не]-иона до наиболее интенсивных сателлитов при $n = 2 - 4$ в спектре Са и при $n = 2 - 5$ в спектре Тi (табл. 2). Как видно из табл. 2, достаточно простая экстраполяция при проведении теоретических расчетов позволяет получить структуру спектра, хорошо согласующуюся с результатами эксперимента.

Предельное положение автоионизационных состояний $1s2l^{\circ}n1$ при $n \rightarrow \infty$ соответствует уровням [Не]-иона $1s2l^{\circ}$. Анализ расчетных данных показывает, что уже при $n \geq 5$ автоионизационные уровни разделяются на группы $L_1S_1J_1$, имеющие своим пре-

Таким образом, измеряя величину $\Delta\nu^*$, можно по спутниковой структуре линий главной серии [Ne]-иона определить значение потенциала ионизации [Li]-иона из состояния $1s^2 2p$.

Поступила в редакцию
2 августа 1982 г.

Л и т е р а т у р а

1. V. A. Voiko, A. Ya. Faenov, S. A. Pikuz, J. Quant. Spectr. Rad. Transfer, 19, 11 (1978).
2. M. A. Mazing et al., Europ. Conf. on Atomic Phys., Book. of Abstr., Heidelberg, 1981, p. 104.
3. Л. М. Горбунов и др., Препринт ФИАН № 126, М., 1979 г.
4. М. А. Мазинг, А. П. Шевелько, Препринт ФИАН № 155, М., 1980 г.
5. М. А. Мазинг и др., ПТЭ, № 5, 188 (1981).
6. L. A. Vainshtein, U. I. Safronova, Atomic Data and Nuclear Data Tables, 21, 49 (1978); 25, 311 (1980).
7. Л. А. Вайнштейн, У. И. Сафронова, В. Н. Шлящев, Препринт ФИАН № 27, М., 1982 г.